

Истинная и средняя скорости реакции

$$v = \pm \frac{dc}{d\tau}$$

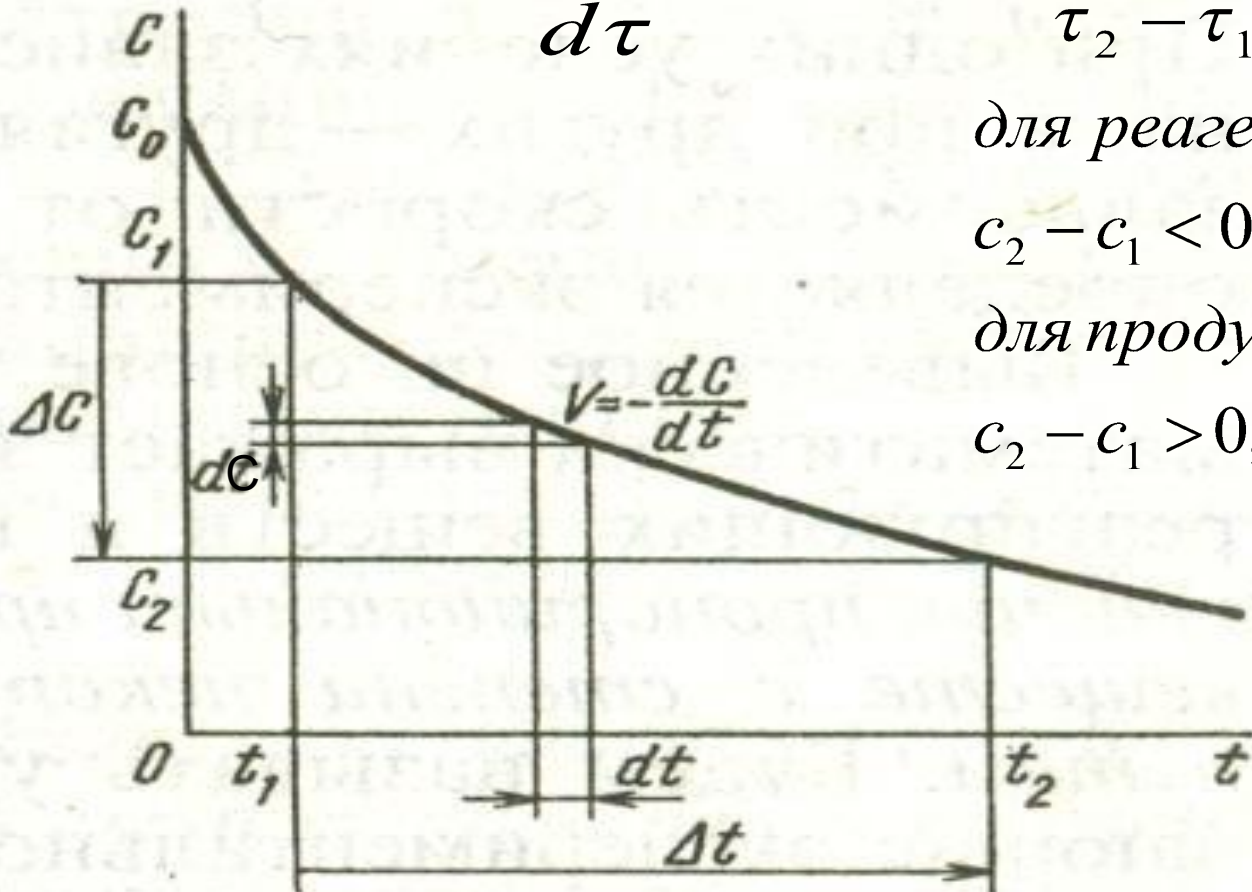
$$\bar{v} = \pm \frac{c_2 - c_1}{\tau_2 - \tau_1} = \pm \frac{\Delta c}{\Delta \tau}$$

для реагентов

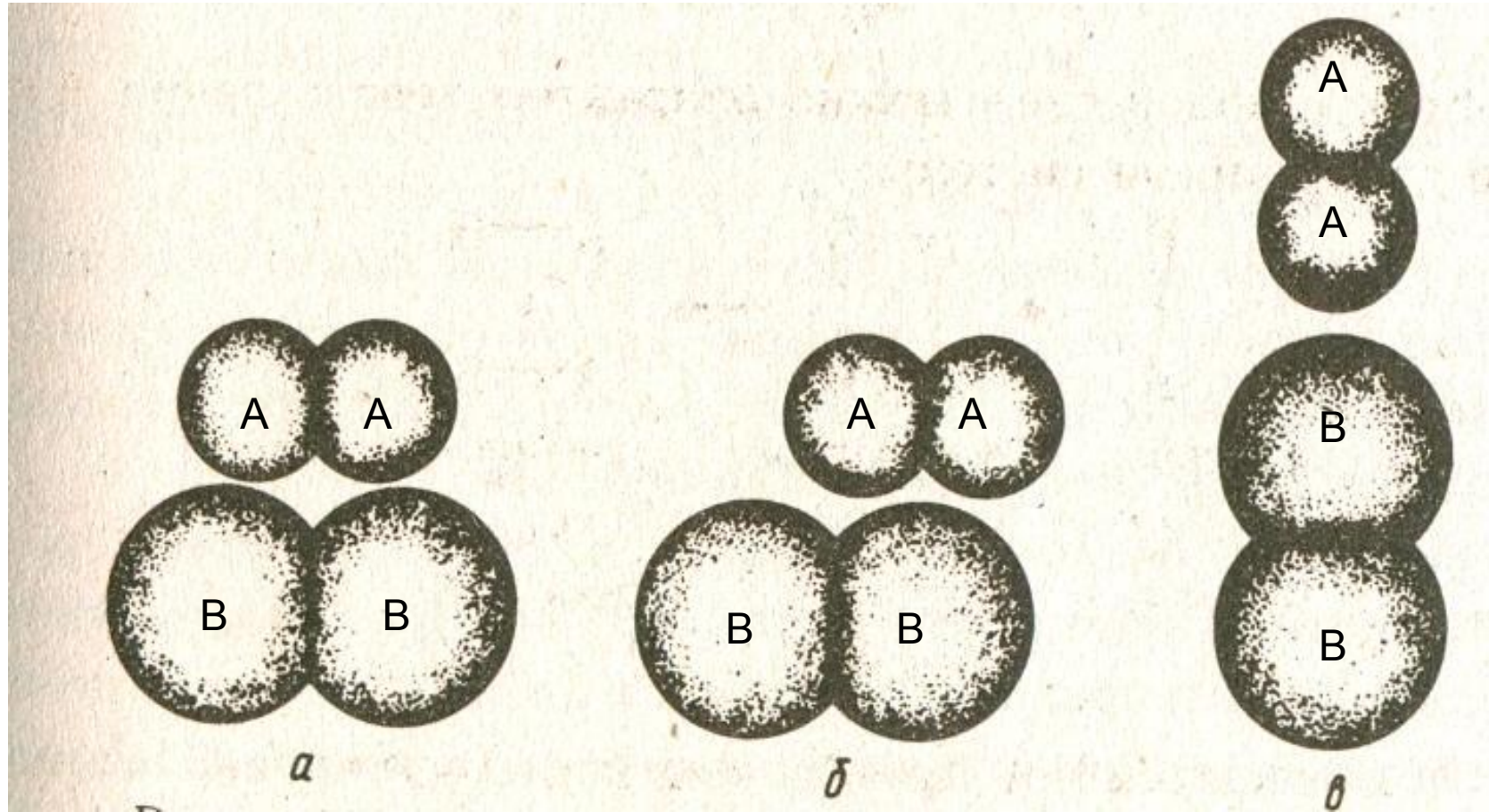
$$c_2 - c_1 < 0, \Rightarrow \Delta c < 0;$$

для продуктов реакции

$$c_2 - c_1 > 0, \Rightarrow \Delta c > 0.$$

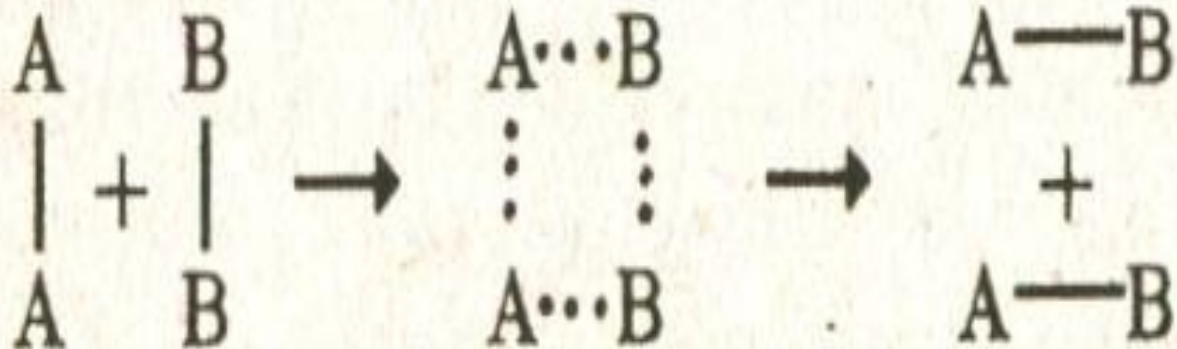


Варианты столкновений молекул



Благоприятная (а) и неблагоприятные (б, в)
ориентации молекул при столкновении

Этапы химической реакции

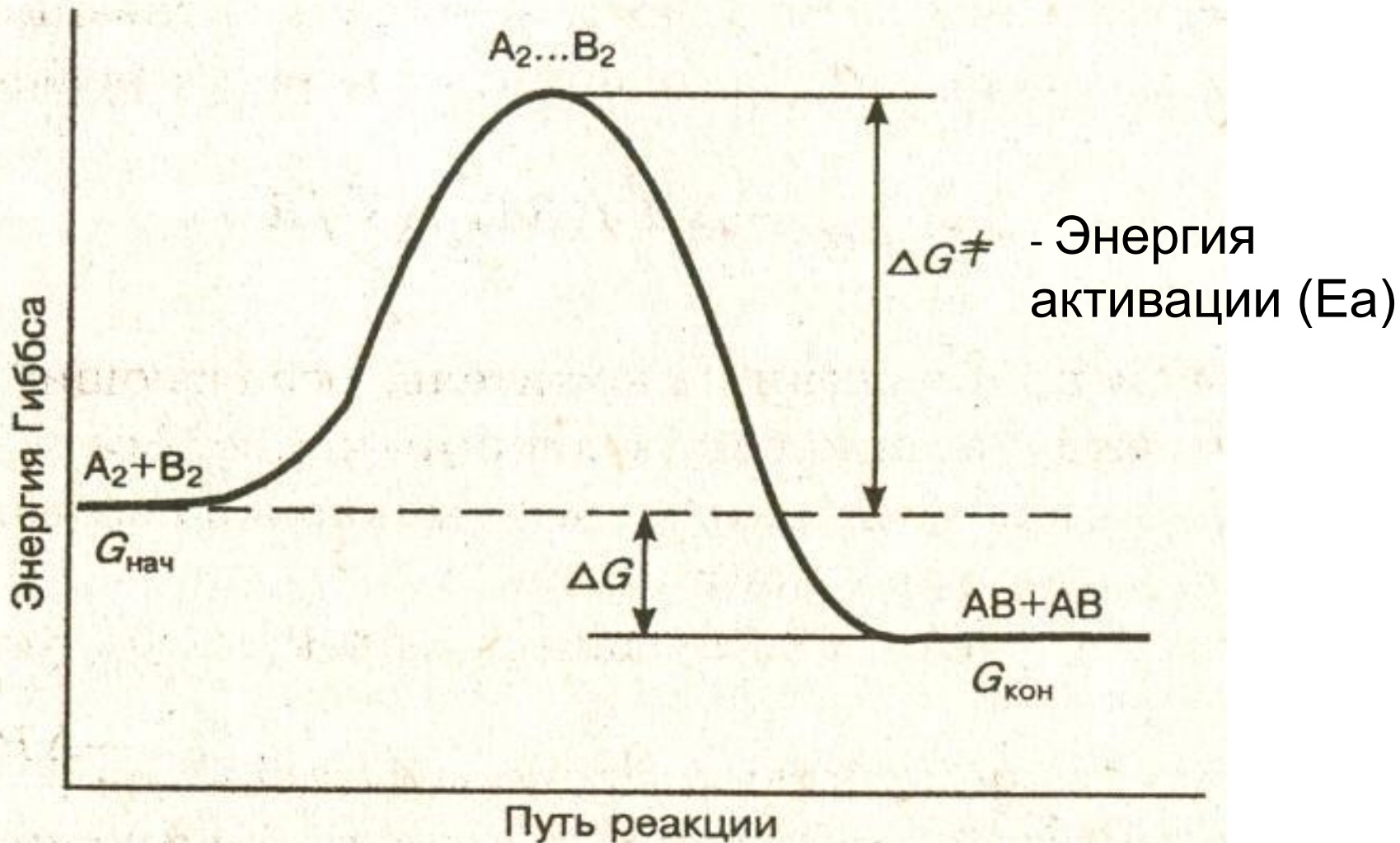


начальное
(исходные
реагенты)

переходное
(активиро-
ванный
комплекс)

конечное
(продукты
реакции)

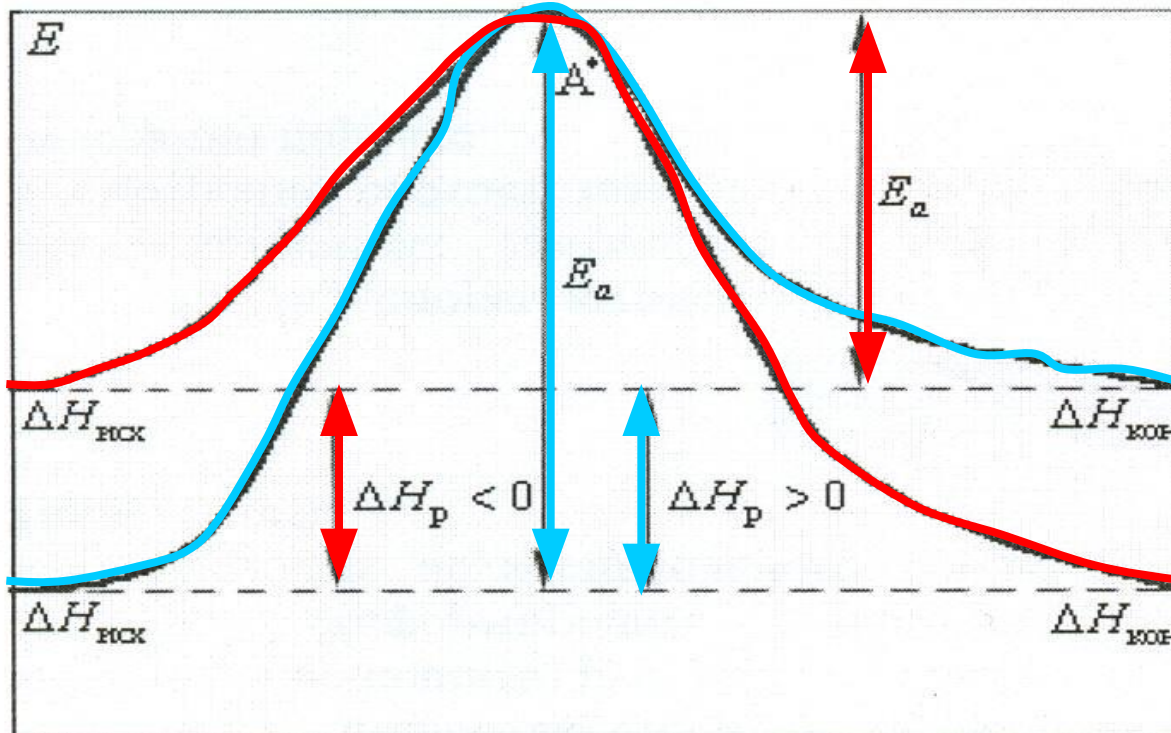
Энергетическая схема хода реакции



ы
й
к
о
м

Энергетическая диаграмма экзотермической и эндотермической реакций

Активированный комплекс



Координата реакции

- Экзотермическая
- Эндотермическая

Зависимость скорости реакции от природы вещества

- $\text{CH}_2(\text{ONO}_2)-\text{CH}_2(\text{ONO}_2) = 2\text{CO}_2 + 2\text{H}_2\text{O} + \text{N}_2$
Динитроэтиленгликоль

*Еа < 40 кДж/моль, реакция протекает
мгновенно в р-рах и при взрывах.*

- $\text{K}_2\text{O} \cdot \text{Al}_2\text{O}_3 \cdot 6\text{SiO}_2 + \text{CO}_2 + 2\text{H}_2\text{O} =$
Полевой шпат
 $= \text{K}_2\text{CO}_3 + 4\text{SiO}_2 + \text{Al}_2\text{O}_3 \cdot 2\text{SiO}_2 \cdot 2\text{H}_2\text{O}$
каолинит

Еа > 120 кДж/моль, реакция длится столетия.

- $\text{H}_2\text{SO}_4 + \text{Na}_2\text{S}_2\text{O}_3 = \text{Na}_2\text{SO}_4 + \text{S} + \text{SO}_2 + \text{H}_2\text{O}$
Еа = 40 -/- 120 кДж/моль, р-ция протекает с
измеримой скоростью.

Молекулярность реакций

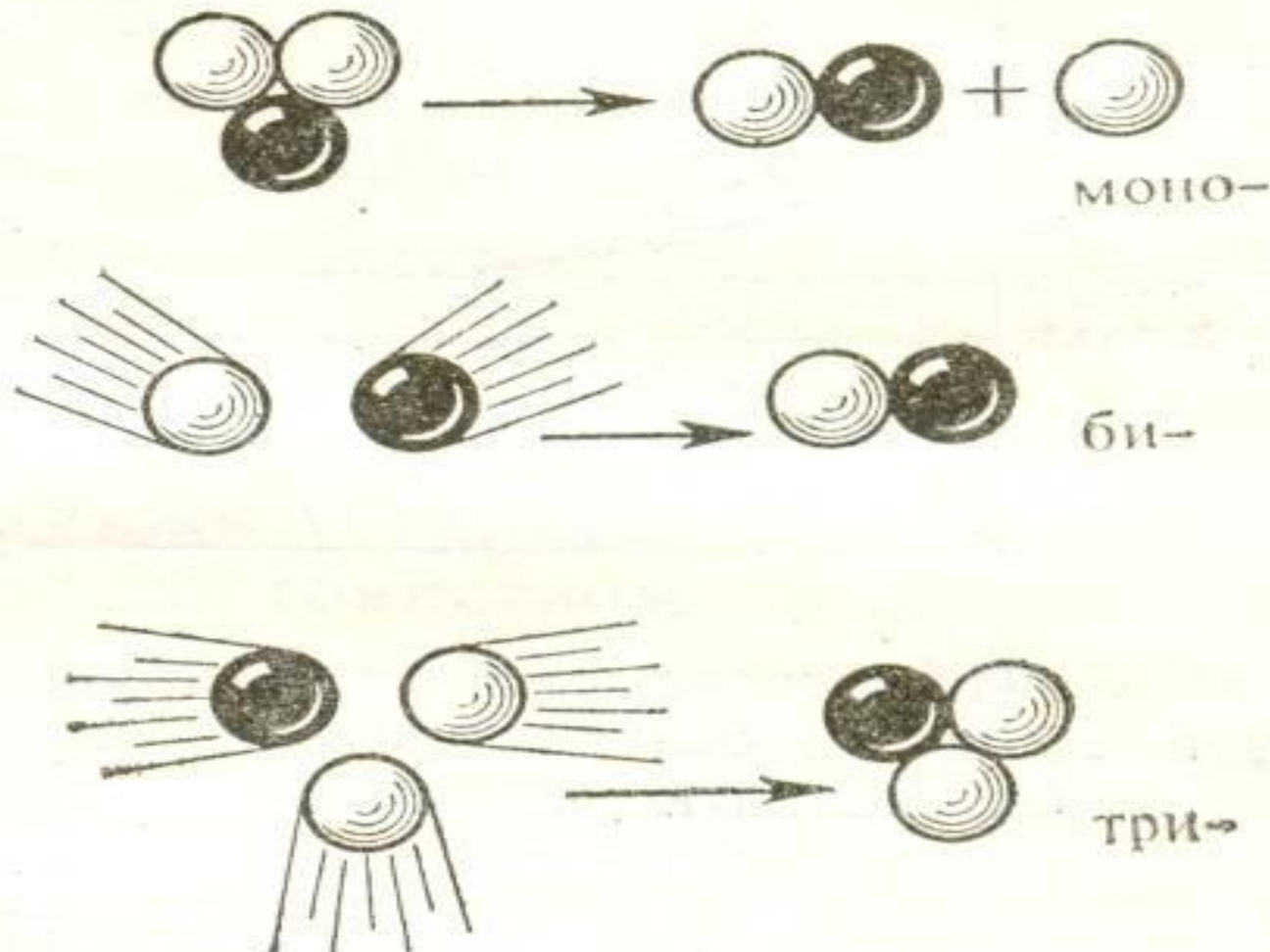
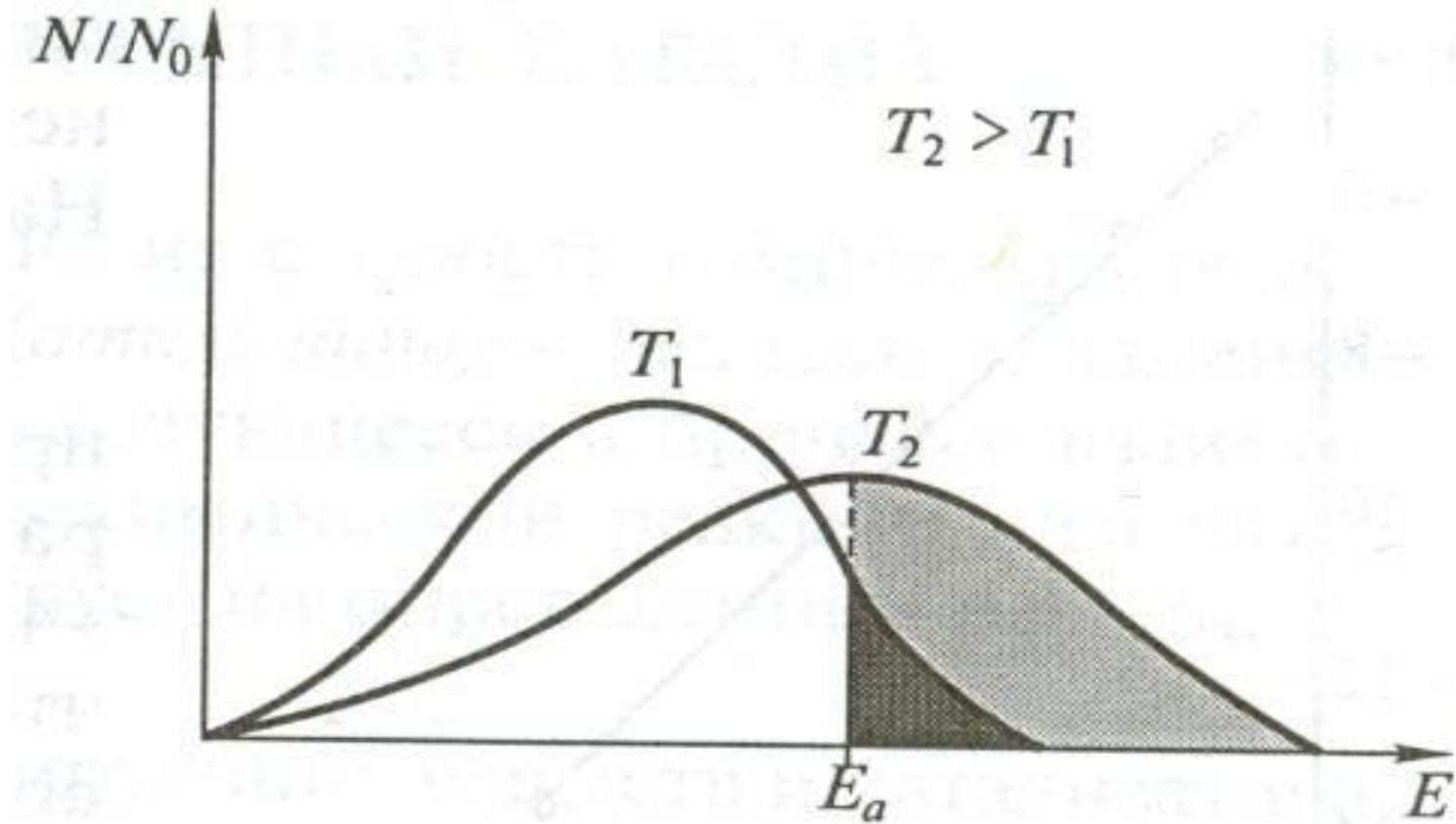


Рис. 5. Мономолекулярные, бимолекулярные и тримолекулярные реакции

Кинетические уравнения реакций различных типов

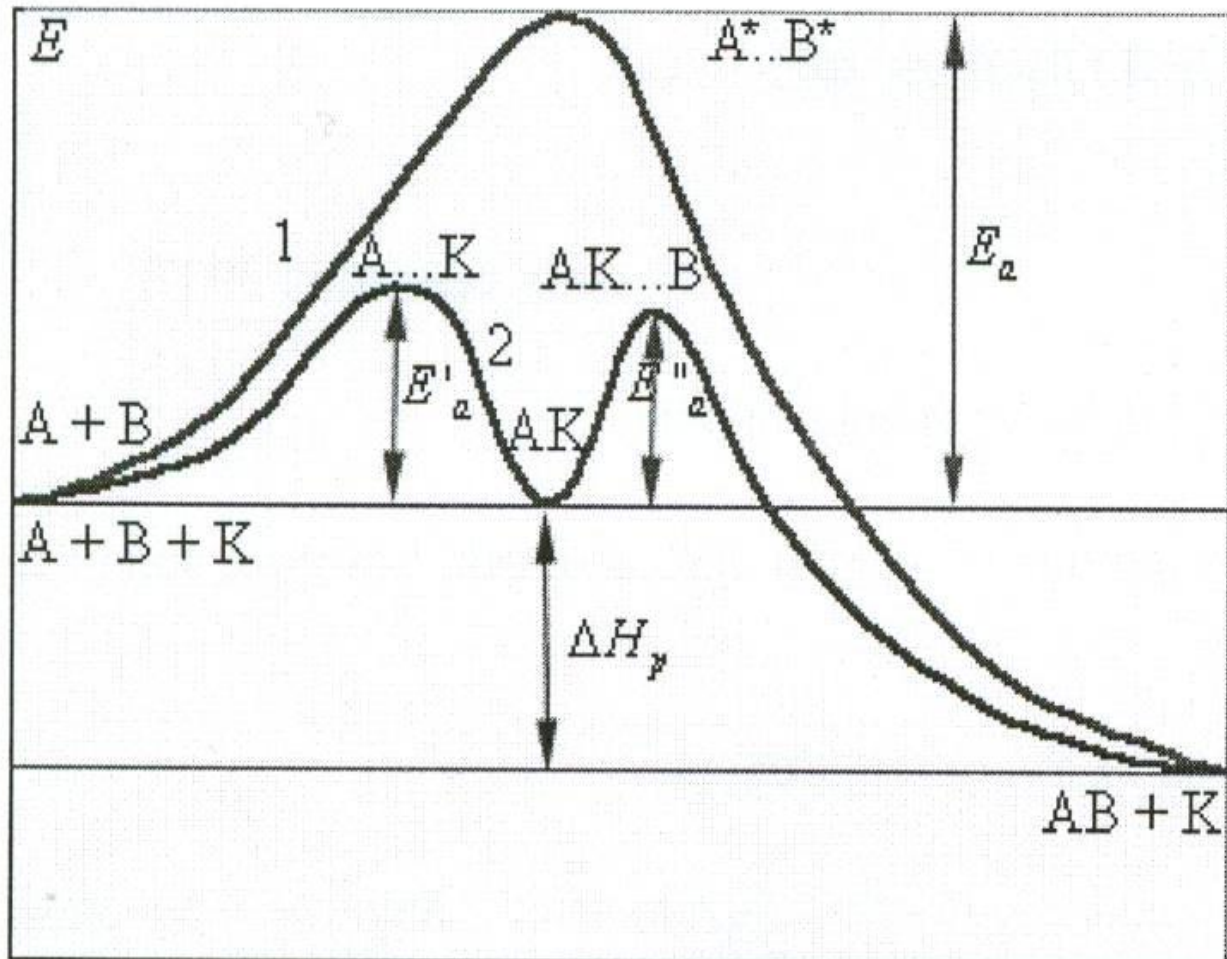
Порядок реакции	Дифференци- альное уравнение	Интегральное уравнение	Размерность константы скорости	Время полупревращения $t_{1/2}$
Нулевой	$-\frac{dC}{dt} = k$	$C_0 - C = kt$	$\frac{\text{моль}}{\text{л} \cdot \text{с}}$	$\frac{C_0}{2k}$
Первый	$-\frac{dC}{dt} = k_1 C$	$\ln \frac{C_0}{C} = k_1 t$	с^{-1}	$\frac{\ln 2}{k_1}$
Второй	$-\frac{dC}{dt} = k_2 C^2$	$\frac{1}{C} - \frac{1}{C_0} = k_2 t$	$\frac{\text{л}}{\text{моль} \cdot \text{с}}$	$\frac{1}{C_0 k_2}$
Третий	$-\frac{dC}{dt} = k_3 C^3$	$\frac{1}{C^2} - \frac{1}{C_0^2} = 2k_3 t$	$\frac{\text{л}^2}{\text{моль}^2 \cdot \text{с}}$	$\frac{3}{2k_3 C_0^2}$
n	$-\frac{dC}{dt} = k_n C^n$	$\frac{1}{C^{n-1}} - \frac{1}{C_0^{n-1}} = (n-1)k_n t$	$\left(\frac{\text{л}}{\text{моль}}\right)^{n-1} \cdot \frac{1}{\text{с}}$	$\frac{2^{n-1} - 1}{k_n (n-1) C_0^{n-1}}$

Распределение частиц по энергиям для температур T_1 и T_2



N/N_0 – доля частиц с данной энергией E

Энергетическая диаграмма некаталитической и гомогенной каталитической реакции



$A + B \rightarrow A \dots B \rightarrow AB$
($\Delta G < 0$) в
присутствии
катализатора :



E'
 E'' -энергия активации
образования 1-го
активированного
комплекса



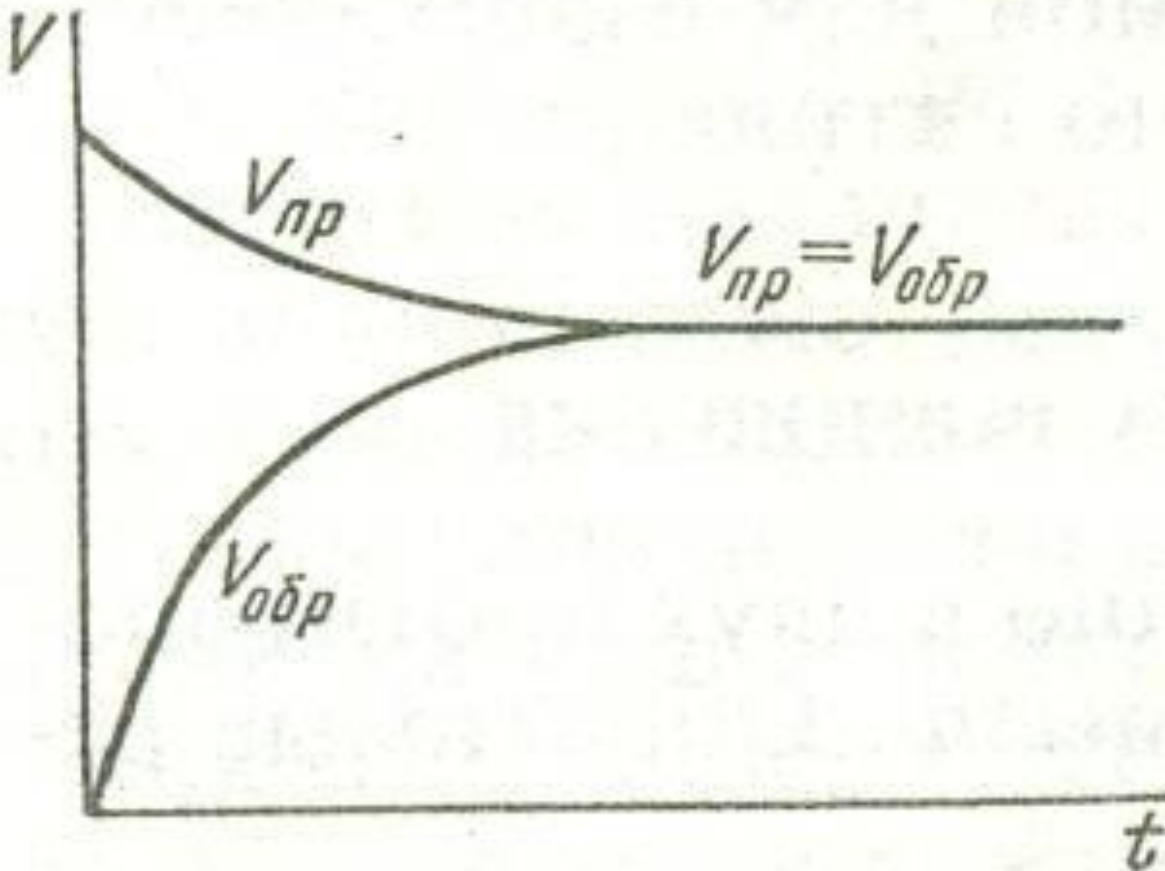
E''
 E'' -энергия активации
образования 2-го
активированного
комплекса

Координата реакции

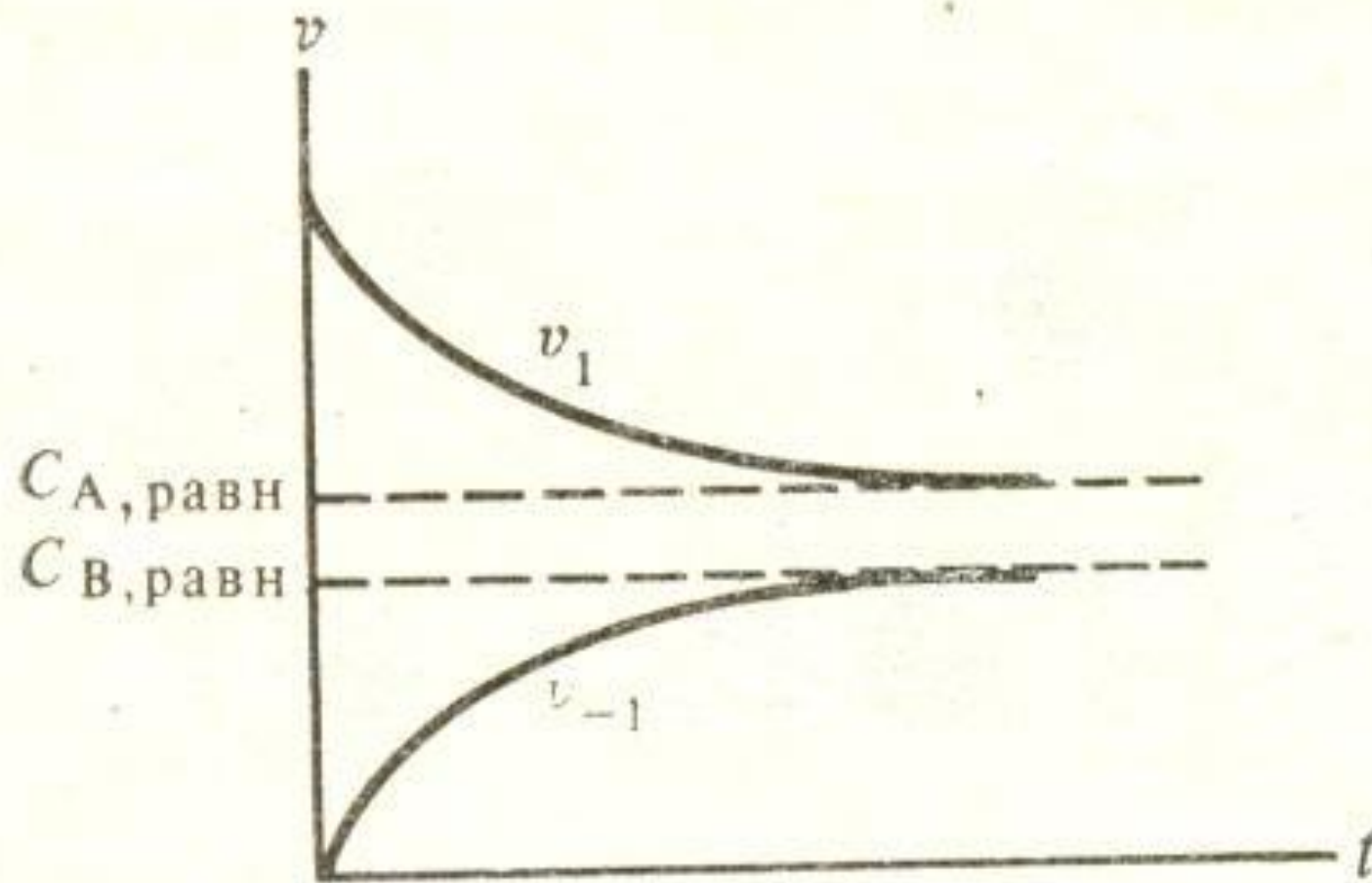
Изменение Еа некоторых реакций в присутствии катализаторов, кДж/моль

Уравнение реакции	Энергия активации гомогенной реакции без катализатора	Катализатор	Энергия активации в присутствии катализатора
$\text{N}_2\text{O} \rightarrow \text{N}_2 + \frac{1}{2}\text{O}_2$	244,0	Au Pt	121,0 136,0
$\text{NH}_3 \rightarrow \frac{1}{2}\text{N}_2 + \frac{3}{2}\text{H}_2$	296,0	W Os Mo	163,0 197,0 134—175,0
$\text{C}_2\text{H}_4 + \text{H}_2 \rightarrow \text{C}_2\text{H}_6$	182,0	Pt; Cu Ni; Pd	29,0—50,2 41,8

Скорость прямой и обратной реакций



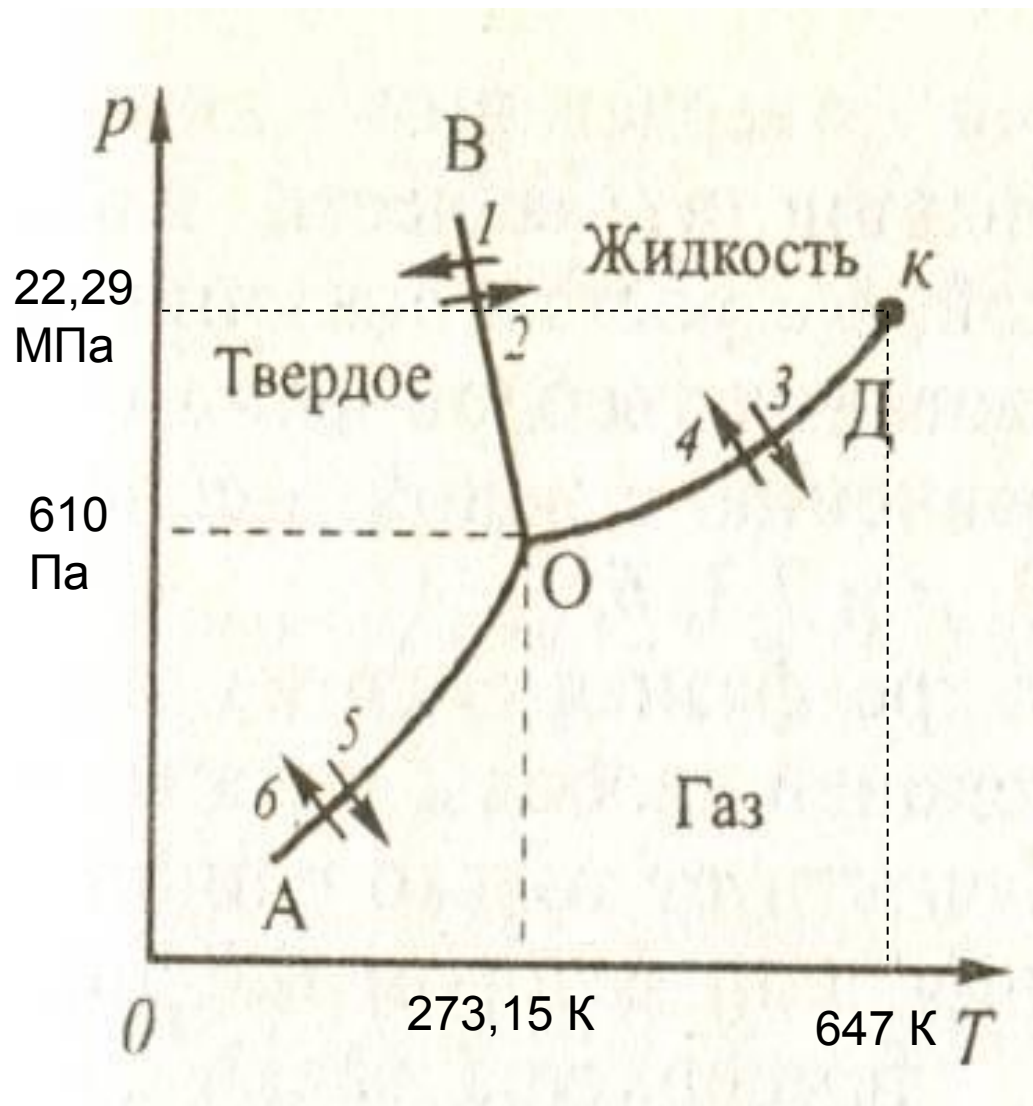
Изменение скоростей прямой и обратной реакции при приближении к равновесию



Энергетические эффекты фазовых и полиморфных превращений

Превращение	Температура, К	ΔH°_{298} , кДж/моль
$H_2O(k)$ плавление — $H_2O(j)$	273	6,0
$H_2O(k)$ сублимация — $H_2O(g)$	298	50,03
$H_2O(j)$ парообразование — $H_2O(g)$	373	40,9
$H_2O(j)$ парообразование — $H_2O(g)$	298	44,0
Sb (аморфная) — Sb (кристаллическая)	298	-10,62
Sn (серое) — Sn (белое)	298	-2,1
C (графит) — C (алмаз)	298	1,8
S (моноклинная) — S (ромбическая)	298	-0,38

Фазовая диаграмма воды



ОД – кривая кипения

ОВ – кривая плавления

ОА – кривая сублимации

Точка О – тройная точка воды
– равновесие
одновременно между
тремя фазами

Точка К – критическая: выше
этой температуры нельзя
получить жидкую воду ни
при каком давлении

Равновесные системы

Равновесная система	Число			
	фаз Φ	независимых компонентов K	внешних факторов n	степеней свободы C
Гетерогенная реагирующая				
$C_{(т)} + CO_2_{(г)} \rightleftharpoons 2CO_{(г)}$	2(т, г)	$3 - 1 = 2$	$2(p, T)$	2
$CaCO_3_{(т)} \rightleftharpoons CaO_{(т)} + CO_2_{(г)}$	3(2т, г)	$3 - 1 = 2$	$2(p, T)$	1
$2Fe_{(т)} + 3CO_2_{(г)} \rightleftharpoons Fe_2O_3_{(т)} + 3CO_{(г)}$	3(2т, г)	$4 - 1 = 3$	$1(T)$	1
$NH_4Cl_{(т)} \rightleftharpoons NH_3_{(г)} + HCl_{(г)}$	2(т, г)	$3 - 2 = 1$	$2(p, T)$	1
$(NH_4)_2CO_3_{(т)} \rightleftharpoons 2NH_3_{(г)} + CO_2_{(г)} + H_2O_{(г)}$	2(т, г)	$4 - 3 = 1$	$2(p, T)$	1
Гомогенная реагирующая				
$2HI_{(г)} \rightleftharpoons H_2_{(г)} + I_2_{(г)}$	1(г)	$3 - 2 = 1$	$1(T)$	1
$H_2_{(г)} + I_2_{(г)} \rightleftharpoons 2HI_{(г)}$	1(г)	$3 - 1 = 2$	$1(T)$	2
$N_2_{(г)} + 3H_2_{(г)} \rightleftharpoons 2NH_3_{(г)}$	1(г)	$3 - 1 = 2$	$2(p, T)$	3
$2NH_3_{(г)} \rightleftharpoons N_2_{(г)} + 3H_2_{(г)}$	1(г)	$3 - 2 = 1$	$2(p, T)$	2
$2H_2_{(г)} + O_2_{(г)} \rightleftharpoons 2H_2O_{(г)}$	1(г)	$3 - 1 = 2$	$2(p, T)$	3
Гетерогенная нереагирующая				
$NaCl_{(т)} \rightleftharpoons NaCl_{(ж)}$	2(т, ж)	$1 - 0 = 1$	$1(T)$	0
$PCl_3_{(ж)} \rightleftharpoons PCl_3_{(г)}$	2(ж, г)	$1 - 0 = 1$	$2(p, T)$	1
$CsNO_3_{(т)} - KCl_{(т)} - CuSO_4_{(т)} - PbS_{(т)}$	4(4т)	$4 - 0 = 4$	$1(T)$	1
$Na_2SO_4_{(т)} - Na_2SO_4 \cdot H_2O_{(т)} - Na_2SO_4 \cdot 5H_2O_{(т)}$	3(3т)	$3 - 0 = 3$	$1(T)$	1
$(NH_4)_2CO_3_{(т)} - NH_3_{(т)} - CO_2_{(т)} - H_2O_{(т)}$	4(4т)	$4 - 0 = 4$	$1(T)$	1
Гомогенная нереагирующая				
$H_2_{(г)} - O_2_{(г)} - H_2O_{(г)}$	1(г)	$3 - 0 = 3$	$2(p, T)$	4